

Эти реакции, за исключением двух последних, экзотермичны и протекают с высокими скоростями даже при комнатной температуре [4, 5]. В двух последних реакциях энергии активации составляют  $\sim 80$ — $100$  кДж/моль, что ниже типичных значений реакций нейтральных продуктов при медленном окислении органических веществ. Однако концентрации заряженных частиц в течение периода индукции самовоспламенения малы ( $\sim 10^6$ — $10^7$  см $^{-3}$  [2]), поэтому для решения вопроса о роли отрицательных ионов в процессах медленного окисления необходимы дальнейшие теоретические и экспериментальные исследования.

Поступила в редакцию 6/VII 1984

#### ЛИТЕРАТУРА

1. Дж. Лаутон, Ф. Вейнберг. Электрические аспекты горения. М.: Энергия, 1976.
2. Ю. Н. Шебеко, Е. И. Зверев, А. Б. Ильин и др. Хим. физ., 1982, 12, 1721.
3. А. Э. Малиновский. Социалистическая реконструкция и наука, 1935, 7, 29.
4. Ионно-молекулярные реакции в газах. М.: Наука, 1979.
5. М. Мак-Ивен, Л. Филипс. Химия атмосферы. М.: Мир, 1978.

### ЭЛЕКТРИЧЕСКОЕ ПОЛЕ ГОРЯЩЕЙ ОДНОЧНОЙ ЧАСТИЦЫ МАГНИЯ

B. B. Головко, C. B. Козицкий, A. B. Флорко  
(Одесса)

Процессы горения сопровождаются интенсивной ионизацией [1]. Электрические поля, возникающие при этом в газовых смесях, изучались экспериментально [2, 3] и теоретически [4]. Сложная структура электрических полей в предвоспламенительный период и в процессе горения для углеродсодержащих топлив исследовалась авторами [5]. Сопровождающие это ионизационные процессы и влияние на них легкоионизируемых присадок изучались в [6, 7]. Как следует из [8], при горении одиночных частиц магния обнаружено формирование электрических полей, которые могут инициировать дополнительный массоперенос конденсированных продуктов сгорания на поверхность горящей капли. В настоящей работе продолжены исследования электрических полей горящих частиц магния [8] при пониженных давлениях  $p = 0,05 \div 1$  атм с целью выяснения механизма их формирования.

Радиальное распределение электрического потенциала исследовали с помощью электростатического зонда. Методика экспериментальных исследований подробно описана в [8]. Частицу магния при пониженных давлениях поджигали с помощью электрической микропечи, экспериментальную установку помещали в вакуумный пост объемом  $25 \cdot 10^{-3}$  м $^3$ . В процессе выгорания магния на поверхность частицы осаждается конденсированная окись, образуя пористую оболочку (условно назовем ее «шубой»). Как показали результаты киносъемки, а также опыты по «замораживанию» горящих частиц магния, между каплей и «шубой» образуется полость.

Характерная кривая распределения электрического потенциала при атмосферном давлении изображена на рис. 1, где по оси абсцисс отложена приведенная координата  $\xi = r/r_0$  ( $r_0$  — радиус частицы до воспламенения).

Поскольку частицу в опытах заземляли, то при ее касании потенциал зонда становился равным нулю. Отрицательный потенциал формировался между горящей каплей и «шубой». Абсолютное значение минимума потенциала в этой зоне по мере выгорания капли магния возрастало от  $\varphi = -0,05$  до  $-0,25$  В. По мере удаления от поверхности капли потенциал проходил через нуль в области «шубы» и достигал максимума

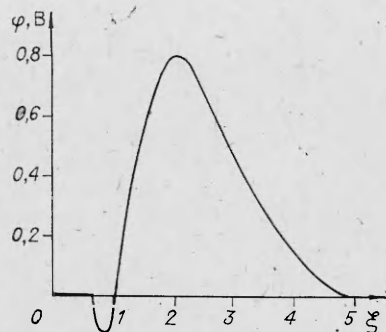


Рис. 1. Радиальное распределение потенциала вокруг горящей одиночной частицы магния при атмосферном давлении.

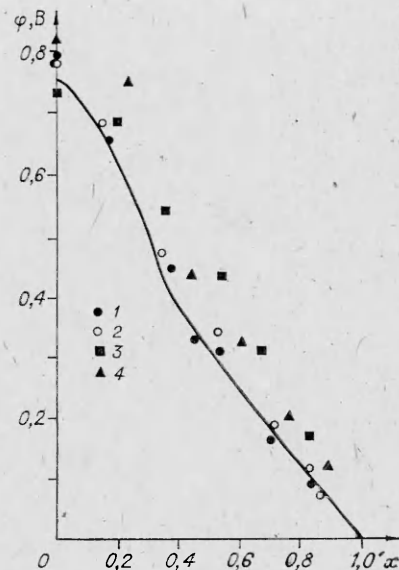


Рис. 2. Распределение электрического потенциала между «шубой» и зоной конденсации.  
р, атм: 1 — 1, 2 — 0,5, 3 — 0,2, 4 — 0,05. Линия — расчет.

$\varphi \approx 0,8$  В в зоне внутренней конденсации [9], а затем монотонно убывал до нуля при  $\xi = 4 \div 5$ . С понижением давления качественный характер распределения потенциала оставался неизменным. Положение и численное значение минимума практически не менялись. Координата максимума смешалась в область больших  $\xi$  по закону  $P_0^{-1/3}$ . (где  $P_0 = p/p_{\text{атм}}$  — безразмерное давление); абсолютное значение максимума незначительно возрастило (на 10—15%). Координата нулевого потенциала, наиболее удаленная от частицы, смешалась с уменьшением внешнего давления примерно по тому же закону, что и положение максимума.

Рассмотрим механизм образования заряженных частиц. Начнем с области 1, где  $\varphi < 0$ . Здесь между частицей и «шубой» температура близка к температуре кипения магния (1450 К). При таких температурах, как показали оценки, термоионизация не эффективна. Поэтому сделано предположение, что заряженные частицы образуются в рассматриваемой области за счет термоэлектронной эмиссии с поверхности капли. Эмиссия электронов приводит к формированию униполярного отрицательного пространственного заряда, что качественно может объяснить формирование распределения потенциала в рассматриваемой области.

Распределение потенциала, создаваемое объемным пространственным зарядом  $\rho$ , определяется уравнением Пуассона

$$\Delta\varphi = 1/\epsilon_0 \cdot \rho. \quad (1)$$

Предположим, что область 1 изотермическая и замкнута для электронов, а распределение концентрации электронов описывается формулой Больцмана. В рамках сферической симметрии задачи уравнение (1) принимает вид

$$\frac{1}{r^2} \frac{d}{dr} \left( r^2 \frac{d\varphi_e}{dr} \right) = \frac{1}{\epsilon_0} n_{01} e^{\frac{e\varphi}{kT}}, \quad (2)$$

где  $\varphi_e$  — потенциал, создаваемый объемным пространственным зарядом;  $\varphi = \varphi_e + q/r$  — полный потенциал, в котором второе слагаемое обусловлено наведенным зарядом на частице [10];  $n_{01}$  — концентрация электронов вблизи капли. Выражение (2) не меняет вида, если вместо  $\varphi_e$  подставить  $\varphi$ . Границные условия выбирали с учетом экспериментальных данных, согласно которым на частице и «шубе»  $\varphi = 0$ .

Методом конечных разностей нелинейное дифференциальное уравнение (2) сводилось к трансцендентному, которое решалось методом

Зайделя. Решения находили для различных значений концентрации электронов  $n_0$  и отношения радиуса «шубы»  $r_{\text{ш}}$  к текущему радиусу капли  $r_k$ . Результаты расчета показали, что при реальных значениях  $n_0$  распределение потенциала имеет минимум, находящийся приблизительно посередине между «шубой» и поверхностью капли. Вычисленные значения минимума потенциала при различных  $n_0$  и  $r_{\text{ш}}/r_k$  приведены в таблице. Из расчетов следует, что по мере выгорания частицы абсолютное значение минимума потенциала в зоне 1 растет, что согласуется с указанными выше экспериментальными данными. Абсолютная величина потенциала растет и с увеличением  $n_0$ .

Концентрацию  $n_0$  при горении одиночной частицы магния в области 1 оценивали по значению эмиссионного тока  $j_e$  с поверхности горящей капли. Действительно,  $j_e = n_0 e v_e$ , где  $v_e$  — скорость электронов у поверхности частицы. Полагая, что  $v_e \sim \sqrt{T_e}$  и оценивая  $j_e$  по формуле Ричардсона — Дешмана, получаем  $n_{01} \approx 5 \cdot 10^{12} \text{ м}^{-3}$ . Следовательно, экспериментальные данные находятся в удовлетворительном количественном согласии с результатами расчета (см. таблицу).

Перейдем к интерпретации результатов эксперимента во второй области — между «шубой» и зоной конденсации. Из рис. 1 видно, что вблизи «шубы» потенциал проходит через нуль и с увеличением  $\xi$  растет, достигая максимального значения вблизи зоны конденсации [8], причем для  $\xi > 1$   $\phi > 0$ . Последнее обстоятельство свидетельствует, что в этой области сосредоточен избыточный положительный объемный заряд с максимальной плотностью вблизи зоны конденсации, где, следовательно, и должны быть наиболее эффективными процессы образования заряженных частиц.

Теоретическая модель формирования распределения электрического потенциала основана на следующих предположениях: 1) заряженные частицы образуются в результате термоэлектронной эмиссии с конденсированных частиц в узкой зоне конденсации; 2) система локально изотермическая; 3) система квазинейтральна; 4) гибель заряженных частиц связана с амбиполярной диффузией, формирующейся из-за существенно различных подвижностей электронов и конденсированных частиц [11]; 5) задача сферически симметричная, стационарная.

С учетом указанных предложений запишем уравнение баланса заряженных частиц [11]

$$-\frac{1}{r^2} \frac{d}{dr} \left[ D(r) r^2 \frac{dn}{dr} \right] + Z = 0, \quad (3)$$

где  $r$  — текущая координата;  $D(r)$  — коэффициент амбиполярной диффузии электронов;  $Z$  — скорость образования заряженных частиц в единице объема. Для простоты решения задачи отсчитываем координату от зоны конденсации. Первый член (3) описывает уход частиц за счет амбиполярной диффузии, коэффициент которой является функцией температуры и  $D \sim T^{3/2}$ . Поскольку задача не очень чувствительна к температурному профилю, последний находился из закона Фурье в предложении постоянства теплового потока из зоны реакции к поверхности капли магния. В этом случае распределение температуры имеет вид

$$T(r) = \left[ T_0^{3/2} - \frac{(T_0^{3/2} - T_1^{3/2}) rr_{\text{ш}}}{(r_k - r_{\text{ш}})(r_k - r)} \right], \quad (4)$$

$T_0, T_1$  — значения температур в зоне конденсации и вблизи «шубы».

Переходя к безразмерным координатам  $x = r/r_k - r_{\text{ш}}$ ,  $y = n(r)/n_0$  и представляя  $D(x) = \frac{D_0 T^{3/2}(x)}{T_0^{3/2}} = D_0 \psi(x)$ , получим уравнение (3) в виде

$$\frac{1}{x^2} \frac{d}{dx} \left[ \psi(x) x^2 \frac{dy}{dx} \right] + B = 0. \quad (5)$$

Здесь  $B = Z(r_k - r_{\text{ш}})/D_0 n_0$ ;  $D_0$  — коэффициент амбиполярной диффузии, а  $n_0$  — концентрация электронов в зоне конденсации.

Уравнение (5) решали при следующих граничных условиях:  $y(0) = 1$  и  $y(1) = 0$ . Первое условие очевидно, второе означает, что вблизи «шубы»  $n_0 = 0$  из-за рекомбинации заряженных частиц. Последнее условие приближенное, и его применение определяется следующим: во-первых, не известен коэффициент отражения заряженных частиц от границы, во-вторых, величины концентрации электронов вблизи зоны конденсации и «шубы» отличаются на несколько порядков. Выражение (5) нелинейно из-за экспоненциальной зависимости  $Z$  от  $x$ . В связи с этим его интегрировали приближенно. Зависимость скорости образования заряженных частиц от координаты  $Z(x)$  аппроксимировали ступенчатой функцией:  $Z = Z_0$  при  $0 \leq x \leq x_0$  и  $Z = 0$  при  $x_0 \leq x \leq 1$ , где  $x_0 = r_0/(r_k - r_{\text{ш}})$ ;  $r_0$  — ширина зоны конденсации. Поскольку  $x_0 \ll 1$  [9], в области  $0 \leq x \leq x_0$  коэффициент амбиполярной диффузии считался постоянным и равным  $D_0$ .

Уравнение (5) интегрировали отдельно для областей 1 и 2. Полученные решения спивались в точке  $x_0$

$$y_1 = 1 - A/6 \cdot x^2, \quad 0 \leq x \leq x_0, \\ y_2 = C \left[ 1 - \frac{1}{x} + 0,646a \ln \frac{1-lx}{0,354ax} \right], \quad x_0 \leq x \leq 1, \quad (6)$$

где

$$C = \frac{x_0}{1,5 - x_0 + ax_0 0,646 \ln \frac{1-lx_0}{0,354 ax_0}}; \\ A = \frac{3C}{x_0^3} \frac{1-kx_0}{1-lx_0}; \quad a = r_{\text{ш}}/r_k; \quad k = 1 - a; \quad l = 1 - 0,354a.$$

В решении (6) уже учтено, что  $T_1/T_0 \approx 0,5$  [8]. Используя соотношение (6), провели расчет радиальных распределений электронных концентраций для различных значений  $x_0$ . Оказалось, что концентрация электронов резко спадает с ростом  $x$ . Например, она уменьшается в  $e$  раз для  $x_0 = 0,05; 0,1$  и  $0,2$  при  $x = 0,12; 0,2$  и  $0,39$  соответственно.

Несложно установить связь напряженности электрического поля, возникающего при амбиполярной диффузии, с радиальным распределением концентрации электронов [11]

$$E = - \frac{kT(x)}{e(r_k - r_{\text{ш}})} \frac{d[\ln y(x)]}{dx}. \quad (7)$$

Используя формулы (4), (6) и (7), рассчитывали зависимость  $E(x)$  для различных значений  $x_0$ . Затем, применяя связь потенциала с напряженностью электрического поля

$$\varphi(x) = (r_k - r_{\text{ш}}) \int_1^x E(Z) dZ, \quad (8)$$

графическим интегрированием находили распределение потенциала  $\varphi(x)$ , которое представлено на рис. 2. Расчеты показали слабую чувствительность  $\varphi(x)$  к величине  $x_0$  и независимость этого распределения в приведенных координатах от внешнего давления. Отметим, что граничное условие  $y(1) = 0$  привело к расходности  $E(x)$  вблизи  $x = 1$ . От нее

избавлялись экстраполяцией  $E(x)$  при  $x < 0,8$  в область  $x > 0,8$ . Привил экстраполяции, как показали оценки, может привести к ошибкам до 10—20%. На рис. 2 видно хорошее согласие экспериментальных и расчетных данных. Таким образом, предложенная модель правильно отражает основные процессы формирования распределения потенциала вокруг горящей одиночной частицы магния.

Обоснуйте выбранный механизм ионизационного баланса. Помимо термоэлектронной эмиссии с поверхности конденсированных частиц электроны могут возникать за счет различных процессов ионизации молекул MgO, O<sub>2</sub>, атомов Mg и щелочных металлов. Для выяснения эффективности последних измерены концентрации Na, K, Li в исследуемых частицах магния. Оказалось, что их общее содержание не превышает  $2 \cdot 10^{-3}\%$ . По уравнению Саха можно определить равновесную концентрацию электронов, связанную с ионизацией перечисленных выше атомов и молекул. Расчеты показали, что она меньше  $10^{14} \text{ м}^{-3}$ .

Концентрация электронов вблизи зоны конденсации определяется формулой

$$n_0 = Z(r_k - r_{\infty})^2 / D_0 B. \quad (9)$$

Величину  $B$  можно оценить из уравнений (6). Для характерных значений  $x = 0,1$  и  $a = 0,5$   $B = 200$ . Коэффициент амбиполярной диффузии связан с подвижностью положительно заряженных частиц  $b_+$  соотношением [8]

$$D_0 = 2kT/e \cdot b_+. \quad (10)$$

Значения  $b_+$  при комнатных температурах измерены в работе [8], и их легко можно пересчитать на температуры в зоне конденсации. Скорость образования электронов оценивается по известной начальной массе частицы магния ( $m \approx 4 \cdot 10^{-6}$  кг) и времени ее горения ( $t \sim 8$  с). Считая, что половина массового потока из зоны химического реагирования идет на частицу [12], получаем  $\frac{dm}{dt} \approx 0,25 \cdot 10^{-6}$  кг/с. По размеру положительно заряженных частиц [5] и плотности окиси магния находим содержание магния в этих частицах ( $m \approx 2 \cdot 10^{-19}$  кг), тогда в единицу времени создается  $\frac{dN}{dt} \approx 10^{12} \text{ с}^{-1}$  частиц. Поскольку каждая положительно заряженная частица несет заряд  $\sim 10e$  [8], то  $Z \sim 10^{13} \text{ 1/с}$ . Концентрация электронов в зоне конденсации с учетом ее объема [9] может достигать  $\sim 10^{18} \text{ м}^{-3}$ . Таким образом, термоэлектронная эмиссия — это процесс, определяющий образование электронов при горении одиночных частиц магния.

В работах [6, 7] указывается на существенную роль процессов хемионизации при горении углеродсодержащих топлив. При горении одиночных частиц Mg она должна быть наиболее эффективной в области реагирования и максимум потенциала должен находиться в этой области пространства. Однако, как показали эксперименты, максимум потенциала находится в области конденсации. По-видимому, это может служить основанием не считать хемионизацию определяющей при горении одиночных частиц Mg.

Влияние процессов рекомбинации на гибель заряженных частиц определяли следующим образом: частицу помещали под срез плоскопараллельного конденсатора, к которому подавали напряжение  $\sim 2$  кВ. Определяли расстояние, при котором конденсатор переставал регистрировать заряженные частицы. По этому расстоянию и по скорости конвективного потока оценено время жизни заряженных частиц  $\sim 0,5$  с, что в несколько раз превосходит характеристическое время амбиполярной диффузии.

Итак, в работе экспериментально и теоретически исследовано радиальное распределение электрического потенциала вокруг горящей одиночной частицы магния в диапазоне давлений 0,05—1 атм. Установлено наличие двух областей с различными механизмами формирования электрических полей. В области между «шубой» и частицей потенциал от-

рицателен и обусловлен термоэлектронной эмиссией с поверхности капли, дрейфовым и деформационным потоками электронов. В области между «шубой» и зоной конденсации потенциал положителен, имеет максимум в зоне конденсации и его распределение обусловливается амбиполярной диффузией заряженных частиц к поверхности «шубы» и термоэлектронной эмиссией с конденсированных частиц  $MgO$ . Установлено, что основные механизмы с изменением давления не меняются, максимум потенциала незначительно растет с уменьшением давления, а среднее значение напряженности электрических полей во второй области уменьшается, как  $p^{-1/3}$ .

Поступила в редакцию 1/VIII 1984

#### ЛИТЕРАТУРА

1. Дж. Лаутон, Ф. Вайнберг. Электрические аспекты горения. М.: Энергия, 1978.
2. Л. А. Гуссак, Е. С. Семенов. ФГВ, 1975, 11, 6.
3. Б. С. Фиалков, И. Д. Щербаков, В. Т. Плицын. ФГВ, 1978, 14, 3.
4. Н. И. Кидин, Г. М. Махвиладзе. ФГВ, 1976, 12, 6.
5. Б. С. Фиалков, А. Г. Захаров, В. Т. Плицын. Химия твердого топлива, 1979, 2.
6. Б. С. Фиалков, А. Г. Захаров. ТВТ, 1981, 19, 1.
7. Б. С. Фиалков, А. Г. Захаров и др. ФГВ, 1981, 17, 5.
8. А. В. Флорко, С. В. Козицкий и др. ФГВ, 1983, 19, 6.
9. А. В. Флорко, А. Н. Золотко и др. ФГВ, 1982, 18, 1.
10. Л. Д. Ландау, Е. М. Либшиц. Электродинамика сплошных сред. М.: Наука, 1982.
11. В. Е. Голант, А. П. Жилинский, И. Е. Сахаров. Основы физики плазмы. М.: Атомиздат, 1977.
12. Л. А. Клячко. ФГВ, 1969, 5, 3.

### РАСПРОСТРАНЕНИЕ ЗОНЫ ГОРЕНИЯ ПО ТУРБУЛЕНТНОЙ СРЕДЕ

П. В. Белоусов, И. Г. Дик

(Томск)

Режимы горения однородной смеси газов в условиях турбулентности отличаются большим разнообразием, обусловленным спецификой гидродинамики в том или ином техническом устройстве. В частности, большинство закономерностей горения в пограничном слое удается объяснить на основе модели, аналогичной описанию ламинарного горения с заменой молекулярных коэффициентов переноса на турбулентные [1—4]. Такого рода модели могут оказаться полезными и при развитии теории турбулентного горения по механизму движения искривленных участков ламинарного пламени, поскольку наличие в турбулентности высокочастотной составляющей пульсаций приводит к изменению скорости движения и структуры движущихся фронтов. Возможны и другие области применения так называемых моделей объемного горения газов [5].

Ниже в развитие работ [6, 7] горение предварительно перемешанных газов рассматривается в рамках модели, использующей уравнения для среднего значения температуры  $\langle T \rangle$  и одноточечных вторых корреляционных моментов  $\langle w'T' \rangle$  и  $\langle T'^2 \rangle$ .

Пусть безграничное однородное пространство заполнено реагирующим газом, находящимся в турбулентном состоянии. Гидродинамические характеристики турбулентности (среднеквадратичная скорость пульсаций  $b = \sqrt{\langle w'^2 \rangle}$  и лагранжев масштаб  $L$ ) считаются заданными. В этом пространстве распространяется плоский слой, где происходит превращение исходного вещества в продукты химической реакции. Предполагается, что химическая реакция экзотермическая с достаточно